

降解组测序技术对人参 miRNA 靶基因的分析鉴定

王颖芳^{1,2}, 王文娟¹, 彭朦媛¹, 陈艳琳¹, 何枝华¹, 曹晶晶¹, 戴王强¹, 林志云¹, 杨泽民³,
龚梦鹃¹, 尹永芹¹

1. 广东药科大学中药学院, 广东 广州 510006

2. 广东省局部精准药物递药制剂工程技术研究中心, 广东 广州 510006

3. 广东药科大学基础学院, 广东 广州 510006

摘要: 目的 分析鉴定人参 miRNA 靶基因。方法 采用降解组测序技术对石柱参 (Shizhu ginseng)、园参 (Yuan ginseng) 的 miRNA 及靶基因进行检测; 利用公共数据库 KEGG/NR/GO 数据库对降解组基因进行功能注释; 通过荧光实时定量 PCR (qRT-PCR) 技术验证石柱参、园参的 miRNA 及靶基因表达量。结果 共得到 8 个 miRNA 家族的 13 个靶基因; 利用 KEGG/NR/GO 数据库分析发现该 miRNA 的靶基因类型主要是转录因子、应答因子及信号转导通路等。对 5 个差异表达 miRNAs: aqc-miR-159、bdi-miR162、cpa-miR319、pgi-miR4376、smo-miR396 及其靶基因进行的 qRT-PCR 验证结果与降解组测序结果一致。结论 明确了部分人参 miRNA 的靶基因, 为进一步研究人参 miRNA 的可能功能奠定基础。

关键词: 人参; 石柱参; 园参; miRNA; 靶基因; 降解组测序

中图分类号: R282.12 文献标志码: A 文章编号: 0253 - 2670(2019)04 - 0945 - 06

DOI: 10.7501/j.issn.0253-2670.2019.04.023

Identification of miRNA target genes in *Panax ginseng* by degradome sequencing analysis

WANG Ying-fang^{1,2}, WANG Wen-juan¹, PENG Meng-yuan¹, CHEN Yan-lin¹, HE Zhi-hua¹, CAO Jing-jing¹,
DAI Wang-qiang¹, LIN Zhi-yun¹, YANG Ze-min³, GONG Meng-juan¹, YIN Yong-qin¹

1. School of Traditional Chinese Medicine, Guangdong Pharmaceutical University, Guangzhou 510006, China

2. Guangdong Engineering&Technology Research Center of topical precise drug delivery system, Guangzhou 510006, China

3. School of Basic Courses, Guangdong Pharmaceutical University, Guangzhou 510006, China

Abstract: Objective To analyze and identify ginseng miRNA. **Methods** The miRNA and target genes of Shizhu ginseng and Yuan ginseng were detected by the degradation sequencing technology; Functional annotation of Degradome genes was carried out using public databases of KEGG/NR/GO database; The expression of miRNA and target genes of Shizhu ginseng and Yuan ginseng was determined by real time fluorescence quantitative PCR technique. **Results** A total of 13 target genes of eight miRNA families were obtained; The target gene type of miRNA was mainly transcriptional factor, response factor, and signal transduction pathway by means of KEGG/NR/GO database analysis. The results of real time fluorescence quantitative PCR verification of aqc-miR-159, bdi-miR162, cpa-miR319, pgi-miR4376, smo-miR396 and its target genes were basically consistent with the expression of miRNA and target genes from the degradation group. **Conclusion** The target genes of partial *Panax ginseng* miRNA is clarified, which lays the foundation for further study of the possible function of ginseng miRNA.

Key words: *Panax ginseng* C. A. Mey.; Shizhu ginseng; Yuan ginseng; miRNA; target gene; degradation sequence analysis

microRNA (miRNA) 是一类内源性非编码小 RNA, 长度为 20~24 个核苷酸^[1]。miRNA 在植物中广泛存在, 并通过剪切靶 mRNA 或抑制靶 mRNA 的翻译, 对基因表达发挥调节作用。降解组测序技

术 (degradome sequencing) 能够高通量鉴定植物 miRNA 的靶基因^[2-3], 并对靶基因的功能进行系统全面注释。

人参是应用历史悠久的名贵中药, 具有提高免

收稿日期: 2018-09-09

基金项目: 国家自然科学基金青年基金项目 (81403195); 广东省自然科学基金项目 (S2013010015418)

作者简介: 王颖芳, 博士/博士后, 副教授, 硕士生导师, 主要从事中药方剂学研究。E-mail: 150306757@qq.com

疫力^[4]、增强记忆力^[5]、改善心血管^[6]、延缓衰老^[7]和抗肿瘤^[8]等多种药理作用。目前对人参主要有效成分研究较多的是人参皂苷和多糖等，尚不能全面揭示人参在临床上的疗效机制。

本实验室前期研究已检测到新鲜人参中含有大量的 miRNAs^[9]。本研究采用降解组测序的方法，分别对新鲜石柱参（Shizhu ginseng）、园参（Yuan ginseng）进行测序分析，鉴定出两者差异相关 miRNAs 的靶基因并进行验证，为进一步研究人参 miRNAs 的可能作用奠定基础。

1 材料

选用长白山新鲜 15 年生石柱参、6 年生园参均来自吉林抚松万良长白山人参市场，经广东药科大学中药学院马鸿雁副教授鉴定为人参属草本植物 *Panax ginseng* C. A. Mey.。将 2 种新鲜人参的主体根分别于自来水下冲洗去除黏附的泥土，置 70% 乙醇中消毒 1 min，再经无菌水冲洗后，置于消毒滤纸上吸干水分，切碎成块，经液氮速冻后，分装后放入 -80 °C 冰箱中保存。

2 方法

2.1 总 RNA 提取及纯化

2.1.1 总 RNA 提取 用液氮将已经切块备用的(各约 200 mg)石柱参和园参样品分别在不同的研钵中研磨至细碎，转移到无菌无酶的 1.5 mL Eppendorf 管中，按 Trizol 法提取总 RNA，加入 20~30 μL 经 DEPC 处理的去离子水溶解 RNA，-80 °C 保存备用，或紧接着进行 DNase I 处理。

2.1.2 总 RNA 纯化 取 20~50 μg RNA 样品，5 μL 10×DNase I Buffer, 2 μL(10 units)Recombinant

DNase I, 1 μL (20 units) RNase Inhibitor, 最后加入 DEPC 处理的去离子水至 50 μL 的反应体系，于 37 °C 反应 20~30 min，热处理使 Recombinant DNase I 失活。加入 10 μL 3 mol/L 醋酸钠和 250 μL 冷乙醇，混匀后 -80 °C 放置 20 min。4 °C, 12 000 r/min 离心 10 min，弃上清（不要触底部）。加入 1 mL 的 70% 冷乙醇洗净，4 °C、12 000 r/min 离心 5 min，弃上清。干燥沉淀。用适量的 DEPC 处理的去离子水溶解 RNA，并采用琼脂糖凝胶电泳检测总 RNA 的完整性。

2.2 文库构建与测序

将检测合格的总 RNA 委托上海欧易生物公司进行 Illumina HiSeq TM2000 测序。

2.3 数据分析

高通量测序得到的数据，去接头，去低质量 reads，去污染等得到干净的目的序列(clean tags)。选取 Rfam 和 Genbank 数据库检索 clean tags 序列信息，尽可能去除注释上的 ncRNA：rRNA、scRNA、snoRNA 等，选用未注释上的 tags 与参考基因组 (Unigenes) 进行比对，获得 cDNAsense，进行 miRNA 降解组位点的预测与分析。应用 CleaveLand3^[10] 软件分析 ($P < 0.05$)，确定 miRNA 靶基因。

2.4 实时荧光定量 PCR (qRT-PCR) 验证差异表达 miRNAs 及其靶基因

选取石柱参、园参中 5 个差异表达 miRNA：aqc-miR-159、bdi-miR162、cpa-miR319、pgi-miR4376、smo-miR396，对 5 条 miRNAs 及其靶基因进行 qRT-PCR 验证(表 1)。按照 QuantiFast® SYBR® Green PCR Kit 试剂盒 (Qiagen 公司，德国) 进行。

表 1 qRT-PCR 验证的 miRNAs 的引物序列

Table 1 Primer sequence of miRNAs verified by qRT-PCR

miRNA	序列 (5'→3')	产物长度/bp
miR159-F	ACACTCCAGCTGGGTTGGATTGAAGGGAGCT	71
miR159-RT	CTCAACTGGTGTCTGGAGTCGGCAATTCAAGTTGAGTAGAGCTC	71
miR162-F	ACACTCCAGCTGGGTCGATAAACCTCTGCATC	71
miR162-RT	CTCAACTGGTGTCTGGAGTCGGCAATTCAAGTTGAGCTGGATGC	71
miR319-F	ACACTCCAGCTGGGTTGGACTGAAGGGAGCTC	71
miR319-FT	CTCAACTGGTGTCTGGAGTCGGCAATTCAAGTTGAGAGGGAGCT	71
miR396-F	ACACTCCAGCTGGGTTCCACAGCTTCTTGAA	71
miR396-RT	CTCAACTGGTGTCTGGAGTCGGCAATTCAAGTTGAGAAGTTCAA	71
miR4376-F	ACACTCCAGCTGGGTTGGCATTCTGTCCACC	71
miR4376-FT	CTCAACTGGTGTCTGGAGTCGGCAATTCAAGTTGAGGGAGGTGG	70

3 结果与分析

3.1 人参 RNA 的提取与鉴定

结果如图 1 所示, 石柱参与园参提取的总 RNA 在凝胶上的位置, 总 RNA 28 S 和 18 S 2 条特征条带清晰, 亮度比接近 2:1, 5 S 条带显示模糊, 表明总 RNA 较完整, 没有降解, 也无明显的基因组 DNA 污染。Nanodrop 检测结果显示, 总 RNA 在 260 nm 处有正常单峰, A_{260}/A_{280} 均在 1.8~2.2。Agilent2100 检测结果显示, 28 S/18 S 均大于 1.5, RNA 完整性指数 (RNA Integrity number, RIN) 均大于 8, 检测结果为 A, 表明样品总 RNA 的降解程度较低, 完整性较好, 能够满足下一步的建库及测序要求。

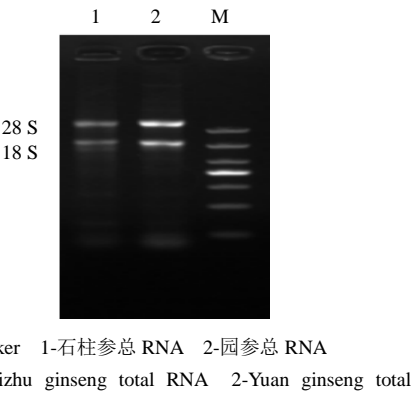


图 1 石柱参和园参总 RNA 电泳图

Fig. 1 RNA electrophoresis of Shizhu ginseng and Yuan ginseng

3.2 降解基因功能注释

对降解组文库注释到的 2 样本共有及特有基因进行分析 (表 2 和图 2、3), 鉴定到 miR156 的靶基因共有 3 个, 分别为 SPL17_ORYSJ、SPL7_ORYSI、DNJH_CUCSA, 这 3 个靶基因功能分别为 SPL 转录因子、SBP (squamosa promoter-binding-like protein) 蛋白家族及调节蛋白 DnaJ, 与已报道的拟南芥 miR156 的靶基因同源。

表 2 石柱参和园参降解基因功能注释统计

Table 2 Statistics results of gene functional annotation of Shizhu ginseng and Yuan ginseng

注释数据库	基因数目
Nr	11 767
KEGG	11 655
GO	10 705
总数	12 915

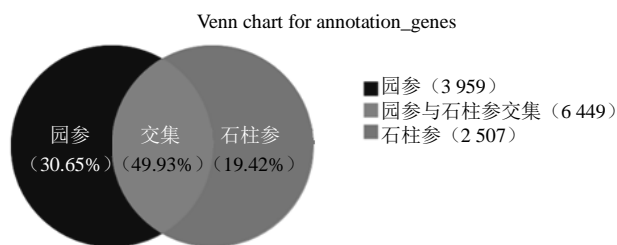


图 2 石柱参和园参共有及特有降解基因

Fig. 2 Common and specific degradation genes of Shizhu ginseng and Yuan ginseng

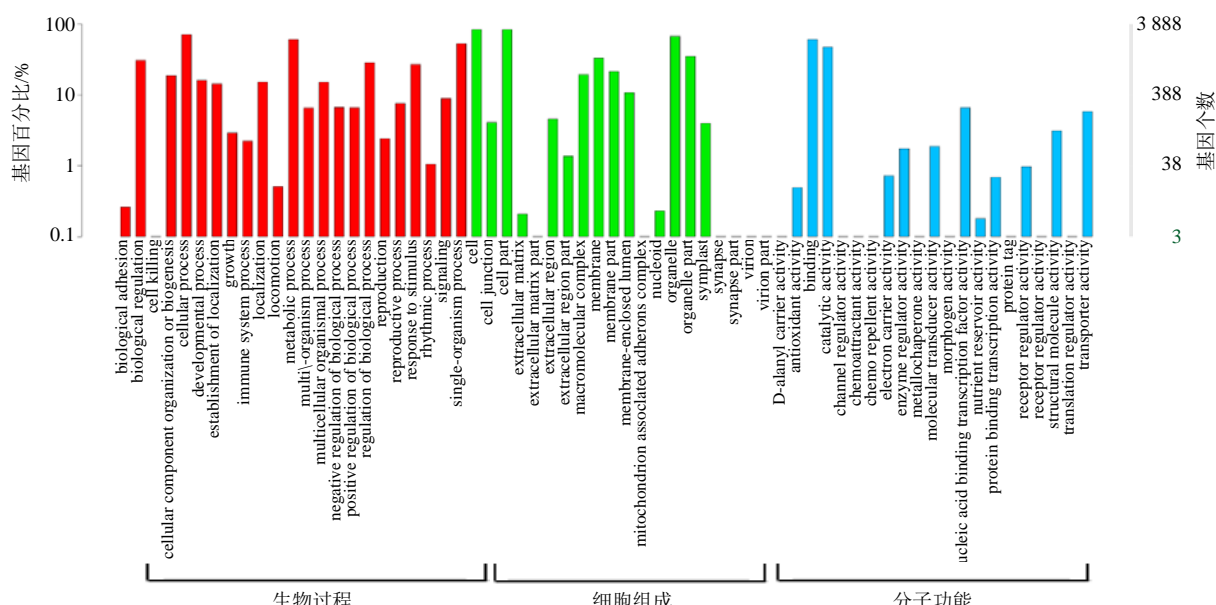


图 3 石柱参和园参 miRNA 靶基因的 GO 注释统计

Fig. 3 Classification of GO function of ginseng miRNA target gene of Shizhu ginseng and Yuan ginseng

鉴定 miR164 的 5 个靶基因中有 3 个编码 NAC 功能域的转录因子，还有一些编码非特征性蛋白，这些靶基因的验证与已有报道基本吻合（表 3），说明了本降解组文库的真实性。

3.3 保守 miRNA 的靶基因

将 miRNA 序列与 mRNA 序列的配对预测和降解组密度文件（degradome density file）结果相结合进行靶基因的精确预测，共发现 8 个 miRNAs 对应的 13 个靶基因（表 4）。

3.4 qRT-PCR 验证差异表达 miRNAs 和靶基因

选中 aqc-miR159、bdi-miR162、cpa-miR319、pgi-miR4376、smo-miR396 5 个差异表达 miRNAs，采用 qRT-PCR 技术验证其在园参与石柱参中的表达。包括 smo-miR396 调控的 GRF1_ARATH；bdi-miR162 调控的 DCL1_ARATH；pgi-miR4376 调控的 ACA8_ARATH 和 aqc-miR159/cpa-miR319 调控的 GAM1_ORYSI。结果显示，大多数靶基因的表

达模式与对应的 miRNA 呈负调控关系；pgi-miR4376 调控的 ACA8_ARATH 结果显示呈非负性调控关系，说明不同品种存在着复杂的 miRNA 调控；由于 smo-miR396 的靶基因有多条，选取其中一条靶基因验证，结果显示不呈负调控关系，可见 GRF1_ARATH 并非人参 miR396 的靶基因（图 4）。5 条 miRNAs 验证结果与高通量测序基本一致，说明本研究高通量测序结果的准确性高。

4 讨论

伴随着高通量测序技术的发展，降解组测序技术可以成功鉴定出低表达丰度的 miRNA 靶基因^[11-12]，在预测植物 miRNA 靶基因中被广泛应用^[13-14]。本实验在降解组测序后，根据分析将 miRNA 序列与 mRNA 序列的配对预测和降解组密度文件（degradome density file）的结果相结合，进行靶基因的精确预测，共发现 8 个 miRNAs 对

表 3 降解组测序获得的靶基因注释

Table 3 Annotation of degradome sequencing

靶基因	靶基因注释	切割位点	分值	类别	cDNA 长度/bp
SPL17_ORYSJ	promoter-binding protein SPL9	1 405	0.5	0	1 944
SPL7_ORYSI	squamosa promoter-binding protein	13	1.5	0	503
DNJH_CUCSA	DnaJ	1 185	4.0	4	1 946
GAM1_ORYSI	transcription factor GAMYB	1 699	2.0	0	2 712
TCP24_ARATH	TCP transcription factor	2 017	3.5	0	2 920
ARFR_ORYSJ	auxin response factor	2 085	1.5	0	3 295
NC100_ARATH	NAC domain-containing protein	93	2.0	0	683
NAC98_ARATH	protein CUP-SHAPED	848	2.5	0	1 339
NAC22_ARATH	NAC domain-containing protein	805	2.5	0	984
ATB15_ARATH	DNA binding protein	1 635	3.5	0	3 786
ARRF_ARATH	auxin response factor	3 808	3.0	0	4 230
AGO1_ARATH	AGO1	833	3.0	0	3 919
TIF6B_ARATH	JAZ3	1 129	4.0	0	1 525
NFYA1_ARATH	CCAAT-box binding factor HAP2 homolog	1 519	4.5	0	2 059
AP2_ARATH	ethylene-responsive transcription factor	2 291	3.0	0	2 643
DAPB3_PSEMX	uncharacterized protein	1 897	4.0	2	2 850
RH46_ARATH	DEAD-box ATP-dependent RNA helicase	1 997	4.5	2	2 395
AFB2_ARATH	protein auxin signalling F-BOX	2 206	3.0	0	2 620
TIR1_ARATH	transport inhibitor response 1	1 913	4.0	0	2 607
GRF6_ORYSJ	uncharacterized protein	1 107	3.0	0	2 498
GRF3_ORYSJ	growth-regulating factor 3	836	2.0	0	2 009
UBC24_ARATH	ubiquitin-conjugating enzyme E2	771	0.5	2	4 443
CLPAA_SOLLC	ATP-dependent Clp protease ATP-binding subunit clpA homolog CD4A	1 467	3.0	2	3 419
ETO1_ARATH	ethylene-overproduction	1 419	3.0	0	3 625
TMVRN_NICGU	TMV resistance protein N	998	3.0	2	3 607
TMVRN_NICGU	ATP binding protein	211	3.0	4	717
R13L4_ARATH	disease resistance RPP13-like protein 4-like	897	2.0	2	3 196
R13L1_ARATH	putative disease resistance protein At3g14460	576	2.5	4	4 273
CAR11_ARATH	probable ADP-ribosylation factor GTPase-activating protein AGD11-like	341	2.5	4	1 101
ACA8_ARATH	autoinhibited calcium ATPase	328	3.0	0	739
GAE6_ARATH	UDP-glucuronate 4-epimerase	189	3.5	0	892
DNAJH_SYN3	hypothetical protein PRUPE	294	4.5	0	2 443

表 4 降解组鉴定人参 miRNA 靶基因信息

Table 4 Identification of ginseng miRNA target gene information by degradome sequencing

miRNA	靶基因注释	靶基因	切割位点	分值	类别	cDNA 长度/bp
aqc-miR159	transcription factor GAMYB	GAM1_ORYSI	1 699	2.5	0	2 712
bdi-miR162	endoribonuclease Dicer homolog1	DCL1_ARATH	4 288	1.5	0	6 288
cpa-miR319	transcription factor GAMYB	GAM1_ORYSI	1 699	1.0	0	2 712
cme-miR166	homeobox-leucinezipper protein DNA binding protein	REV_ARATH ATB15_ARATH	1 105 1 635	2.0 2.0	0 0	3 470 3 786
pgi-miR4376	auto-inhibited calcium ATPase	ACA8_ARATH	328	3.0	0	739
smo-miR396	hypothetical protein growth-regulating factor unnamed protein product growth-regulating factor uncharacterized protein	GRF1_ARATH GRF3_ORYSJ GRF4_ORYSJ GRF6_ORYSJ RPD1_ARATH	120 836 848 1 107 1 849	2.0 2.0 2.0 2.0 2.0	0 0 0 0 0	1 386 2 009 2 239 2 498 3 153
comp46638	SPX domain-containing membrane protein	SPXM3_ARATH	376	1.5	0	3 251
comp65451	tir-nbs-lrr resistance protein	TMVRN_NICGU	852	1.5	2	1 834

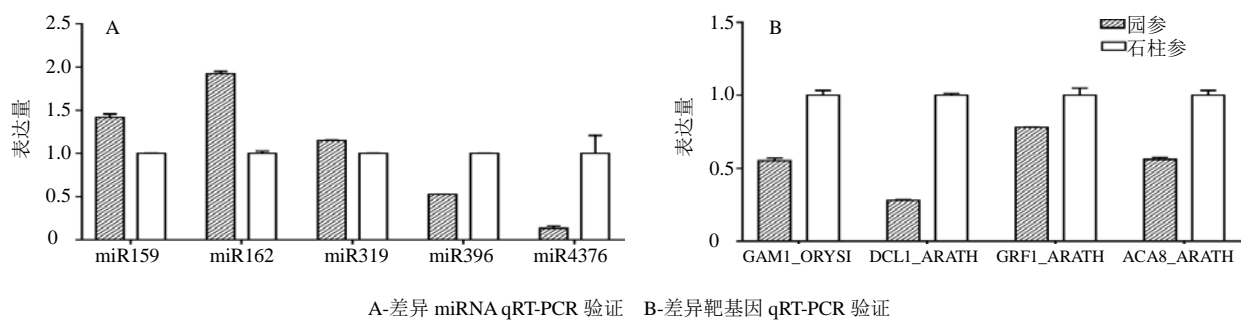


图 4 差异 miRNA 及靶基因 qPCR 验证

Fig. 4 Validation of differential miRNAs and target genes by qPCR

应的 13 个靶基因。包括 6 个已知 miRNAs: aqc-miR-159、bdi-miR162、cpa-miR319、cme-miR166i、pgi-miR4376、smo-miR396，以及 2 个新 miRNAs: comp65451、comp46638。

利用 Nr、KEGG、GO 等数据库对这些靶基因进行功能注释及代谢通路分析，发现这些 miRNA 的靶基因类型主要是转录因子、应答因子及信号转导通路等，与 miRNA 主要在基因转录后水平进行调控基本一致。miR159 和 miR319 共同靶向 MYB 结构域蛋白家族^[15]；miR396 的 5 个靶基因主要为 GRF 生长因子（growth-regulating factor），与拟南芥中的靶基因同源；人参特有的非保守 pgi-miR4376 靶基因为 ACA8_ARATH，属于编码钙通道阻滞剂类型；新 miRNA comp65451 靶基因与 TIR NBS-LRR 抗病蛋白的调控有关，可能是人参物种特异的新 miRNA，有待进一步研究。

已有研究表明，外源 miRNA 可被吸收并能从哺乳动物组织检测到^[16-17]。丹参、地黄等中药中一些 miRNA 可通过口服水煎液进入人体内，呈现显著的生物活性及组织靶向性。金银花水煎液中的 miR2911 可以通过灌胃进食的方式进入小鼠体内，对流感病毒发挥直接作用^[18]。药用植物中的 miRNA 可能是中药发挥疗效的作用机制之一。

由此，人参 miRNA 可能进入机体发挥调控作用，成为人参临床疗效的有效物质基础之一。为了验证这一假说，本研究通过降解组测序分析，鉴定出新鲜人参 miRNA 的靶基因，并通过 qRT-PCR 验证，得出一致的结果。为进一步揭示人参 miRNA 及其靶基因在机体内可能调控作用打下基础。

参考文献

- [1] Bartel D P. MicroRNAs: Genomics, biogenesis,

- mechanism, and function [J]. *Cell*, 2004, 116(2): 281-297.
- [2] Fang Y N, Zheng B B, Wang L, et al. High-throughput sequencing and degradome analysis reveal altered expression of miRNAs and their targets in a male-sterile cybrid pummelo (*Citrus grandis*) [J]. *BMC Genom*, 2016, 17(1): 591-605.
- [3] Yang X, Wang L, Yuan D, et al. Small RNA and degradome sequencing reveal complex miRNA regulation during cotton somatic embryogenesis [J]. *J Exper Bot*, 2013, 64(6): 1521-1536.
- [4] Yu X T, Wang S P. Clinical observation on treatment for postoperative gastric cancer by ginsenoside Rg₃ combined with chemotherapy [J]. *Chin J Cancer Prev Treat*, 2010, 17(10): 779-781.
- [5] Zhang G, Liu A, Zhou Y, et al. *Panax ginseng* ginsenoside-Rg₂ protects memory impairment via antiapoptosis in a rat model with vascular dementia [J]. *J Ethnopharmacol*, 2008, 115(3): 441-448.
- [6] Sui D Y, Yu X F, Qu S C, et al. Effects of *Panax quinquefolium* 20S-2 protopanaxadiol saponins on experimental ventricular remodeling in rat [J]. *Chin Pharm J*, 2007, 42(2): 108-112.
- [7] William C S, Chung W S, Sally K W, et al. Ginsenoside Re of *Panax ginseng* possesses significant antioxidant and antihyperlipidemic efficacies in streptozotocin-induced diabetic rats [J]. *Eur J Pharm*, 2006, 550(1/3): 173-179.
- [8] Kim S E, Lee Y H, Park H J, et al. Ginsenoside-Rs4, a new type of ginseng saponin concurrently induces apoptosis and selectively elevates protein levels of p53 and p21WAF1 in human hepatoma SK-HEP-1 cells European [J]. *Eur J Cancer*, 1999, 35(3): 507-511.
- [9] Wang W J, He Z H, Chen Y L, et al. Comparison of two miRNA methods for extraction of ginseng decoction [J]. *广东药科大学学报*, 2017, 33(5): 595-599.
- [10] Addo-Quaye C, Miller W, Axtell M J. CleaveLand: A pipeline for using degradome data to find cleaved small RNA targets [J]. *Bioinformatics*, 2008, 25(1): 130-131.
- [11] Elbashir S M, Lendeckel W, Tuschl T. RNA interference is mediated by 21- and 22-nucleotide RNAs [J]. *Genes Dev*, 2001, 15(2): 188-200.
- [12] Li B, Duan H, Li J, et al. Global identification of miRNAs and targets in *Populus euphratica* under salt stress [J]. *Plant Mol Biol*, 2013, 81(6): 525-539.
- [13] Lu S, Sun Y H, Shi R, et al. Novel and mechanical stress-responsive microRNAs in *Populus trichocarpa* that are absent from *Arabidopsis* [J]. *Plant Cell*, 2005, 17(8): 2186-2203.
- [14] Jiang J, Lv M, Liang Y, et al. Identification of novel and conserved miRNAs involved in pollen development in *Brassica campestris* ssp. *chinensis* by high-throughput sequencing and degradome analysis [J]. *BMC Genom*, 2014, 15(1): 146.
- [15] Palatnik J F, Allen E, Wu X, et al. Control of leaf morphogenesis by microRNAs [J]. *Nature*, 2003, 425(6955): 257-267.
- [16] Zhang L, Hou D X, Chen X, et al. Exogenous plant MIR168a specifically targets mammalian LDLRAP1: Evidence of cross-kingdom regulation by microRNA [J]. *Cell Res*, 2012, 22(22): 107-126.
- [17] Li J, Zhang Y J, Li D M, et al. Small non-coding RNAs transfer through mammalian placenta and directly regulate fetal gene expression [J]. *Protein Cell*, 2015, 6(6): 391-396.
- [18] Zhou Z, Li X H, Liu J X, et al. Honeysuckle-encoded atypical microRNA2911 directly targets influenza A viruses [J]. *Cell Res*, 2015, 25(1): 39-49.